断面欠損した鋼桁端部の CFRP 接着による補強効果の解析的検討

三井住友建設 正会員 ○トゥワーン ニャムバヤル 首都大学東京大学院 学生員 タイウィサル 首都大学東京 正会員 中村一史 東レ 正会員 松井孝洋

1. はじめに

本研究は、VaRTM(Vacuum assisted Resin Transfer Molding)成形 技術を用いて、FRP 部材の成形と接着を同時に行うことで、短工 期で鋼部材の補修・補強を行う工法の開発を目的としたものであ る(図-1). ここでは、損傷事例の多い、鋼桁端部のウェブ下端の 断面欠損に対する補強について、CFRP 部材による耐力の向上効 果 1)を解析的に検討した.

2. 鋼桁端部と腐食による断面欠損のモデル化

図-2 に、 桁試験体と腐食による断面欠損を考慮する範囲と試験 体の諸元を示す. 試験体は、アスペクト比 1.0、支間長 1,700mm の I 形断面桁であり、単純支持の 3 点曲げ載荷とした、断面欠損 部は、図-2 に示すように、垂直補剛材、ウェブの下端 100mm の 範囲とし、フランジには欠損を考慮していない. 断面欠損部の形 態は,一定の減肉あるいは完全欠損とし,垂直補剛材(板厚 12mm) の欠損率は50%、ウェブの欠損率は100%とした.

3. 解析モデルと解析方法

試験体の解析モデルでは, 垂直補剛材, ウェブ, フランジはシ ェル要素で,ソールプレート,載荷板はソリッド要素で,接着層 は等価な剛性を有するばね要素で、それぞれモデル化した.要素 サイズは 10×10mm とした. 初期たわみは、ウェブの高さ方向に 対して最大 1/1000 (最大 0.8mm) とし, 面外方向に正弦半波形状 を導入した.

鋼種は SM400 であり、材料試験から降伏強度は、ウェブで 317.5MPa, 上下フランジ, 垂直補剛材で 280.5MPa であった. 数 値解析には、汎用有限要素解析プログラム Marc 2018 を適用し、 弾塑性有限変位解析を行った. 基本モデルとして, 断面欠損がな いモデル, あるモデルをそれぞれ, 健全モデル, 欠損 (無補修) モデルとした. さらに、この試験体での補強の目標値(限界値) を検討するために、健全モデルで、両側のウェブの中心に垂直補 剛材を有する参照モデルを作成した.

4. CFRP 部材の配置と補強のモデル化

本研究では、欠損モデルに CFRP を適切に配置することで、参 照モデルと同等の耐力に向上させる最適な補強方法を検討する.

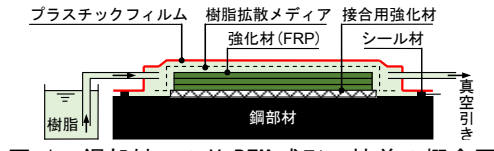
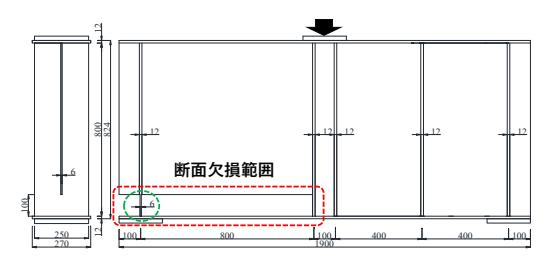
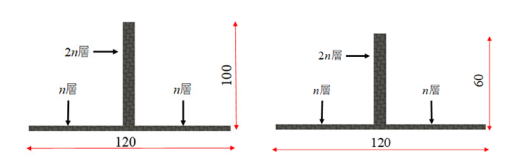


図-1 鋼部材への VaRTM 成形・接着の概念図



桁試験体(補強前)と断面欠損部の概略図



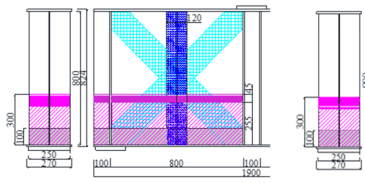
(a) 補強 CFP SH90

(b) 補強 CFP SH±45

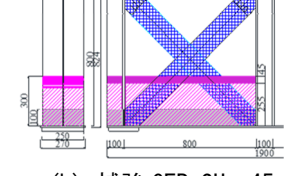
図-3 プリフォームアングル材の形状パラメータ

表-1 プリフォームアングル材の諸元

| 補強方法 | 補強範囲 | | CFRPの 配向方向 | | | 接着剤の |
|------------------|------|-----|---------------|----------|----------|-------|
| | 長さ | 幅 | 垂直方向 | 引張 方向 | 圧縮 方向 | 要素モデル |
| 補強CFP_SH90N10 | 800 | 120 | • | _ | _ | ばね要素 |
| 補強CFP_SH ± 45N10 | 1130 | 120 | _ | | • | ばね要素 |



(a) 補強 CFP_SH90



(b) 補強 CFP_SH±45 図-4 PF 材の配置と補強モデル

既往の研究¹⁾より、断面欠損部に不陸修正材を充填し、高強度タイプの CF シートを垂直方向にウェブに 10 層、 垂直補剛材に 15 層を配置して補修すれば、健全モデル(1330.1kN)の耐力まで、回復(1339.5kN)することが示 されているため、それを基本として、補強設計を行うこととした、補強モデルは、ウェブのせん断座屈耐力を向 上させることを目的として、図-3、図-4、表-1に示すように、2種類のプリフォームアングル材(PF材)の設置 を検討した. なお, PF 材とは, CF シートを予め積層して所定の形状を保持した中間機材である. CF シートには, 中弾性タイプ(シート厚さ 0.217mm, 引張強度 2.4kN/mm², 弾性係数 440kN/mm²) を用い、繊維体積含有率を 50%, 繊維の配向は鉛直(90°)方向, ±45°方向とした.

図-4(a)に、補強 CFP SH90 モデルを示す. ウェブパネルの±45°方向に CF シートを部分的に配置し、それに 加えてプリフォームアングル (PF) 材 (幅 120×高さ 100×長さ 800mm, 図-3(a)) を背合わせに, ウェブ中心に垂 直に配置した. PF 材は、積層数を 1~20 層までパラメトリックに検討した.

キーワード:鋼桁端部,断面欠損,補強,VaRTM,炭素繊維シート

連絡先:〒192-0397 東京都八王子市南大沢 1-1 TEL.042-677-1111 内線(4564)

図-4(b)に、補強CFP SH±45モデルを示す. PF材(幅120× 高さ60×長さ1130mm, 図-3(b)) を±45°方向に設置した. PF材 は、積層数を1~20層までパラメトリックに検討した.このと き、欠損部は不陸修正ではなく、中弾性タイプのCFシートを 積層(15層)配置した.

5. 検討結果と考察

図-5に、CFシート量と補強効果の関係を示す。CFシート量 は、PFアングル材に適用したCFシート量を示している. 両補 強モデルでは、積層数を1~20層までパラメトリックに検討 し, 健全モデルに対する最大荷重の増加率を補強効果とした. 図より、両補強モデルにおいて、PF材の積層数が、10層から 補強効果が一定値となることがわかる. 補強効果は、補強 CFP SH90モデルでは約25%, 補強CFP SH±45モデルでは約 35%で一定となった. 補強CFP SH±45モデルでは, 参照モデル の補強効果31.1%を上回っており、十分な補強効果が得られる ことがわかる.一方,補強CFP SH90モデルでは,参照モデル の補強効果よりも、若干、小さくなった.これらの結果から、 PF材の積層数を10層として, 試験体を作製し, 載荷実験によ り検証が行われた1).

図-6に、補強CFP SH±45N10モデルの最大荷重時の変形図 を示す. PF材の積層数は、補強効果が一定となった、10層を 示している. 解析結果 (図-6(a)) より, CFRPを配置していな い,垂直補剛材で補強された,ウェブ側でせん断座屈が生じ ていることがわかる. 図-6(b)の実験結果では、変形量が小さ いが,同様に,ウェブのせん断座屈が生じ,同じ破壊形式であ った.

図-7 に、補強 CFP SH90N10 モデルの最大荷重時の変形図 を示す. PF 材の積層数は、同様に、補強効果が一定となった、 10 層を示している. 解析結果 (図-7(a)) は, 前述の補強 CFP SH±45N10 モデルと同じせん断座屈であったが、図-7(b) の実験結果では、垂直補剛材のウェブ側ではせん断座屈は生 じず、破壊形式は、支点近傍でのはく離と CFRP の破壊であ

図-8に、荷重と載荷点直下の鉛直変位の関係を示す、補強 CFP SH±45N10 モデルでは、実験・解析ともに参照モデルと ほぼ同程度まで耐荷力が向上していることがわかる.一方, 補強 CFP SH90N10 モデルでは,実験・解析ともに,参照モデ ルをやや下回った.後者の破壊形式は、はく離と CFRP の破 壊であり、挙動は実験と解析で同じであった.

表-2に、最大荷重と健全モデルに対する補強効果の比較を 示す. 健全モデルの実験値の最大荷重 P_{0emax} (赤字) に対する, 各モデルの最大荷重の比を補強効果として示している. 解析 と実験でよい一致を示すことから、解析のモデル化と評価は 妥当であると判断された.

6. まとめ

以上のことから、桁端ウェブパネルに 100%の欠損が生じた場合でも CFRP 部材の適切な配置により、補強も 十分に可能であること, 圧縮・引張側に相互に PF 材を配置する補強方法が効果的であることが確かめられた.

モデル

健全 (Pomax)

欠損

参照 CFP SH90N10 $\pm 45^{\circ}$

5/5層

参考文献

1) トゥワーンニャムバヤル, タイウィサル, 中村一史, 松井孝洋: 断面欠損した鋼桁端部の VaRTM 成形を用い た CFRP 接着による補修・補強, 土木学会, 第7回 FRP 複合構造・橋梁に関するシンポジウム, 9pages, 2018.11

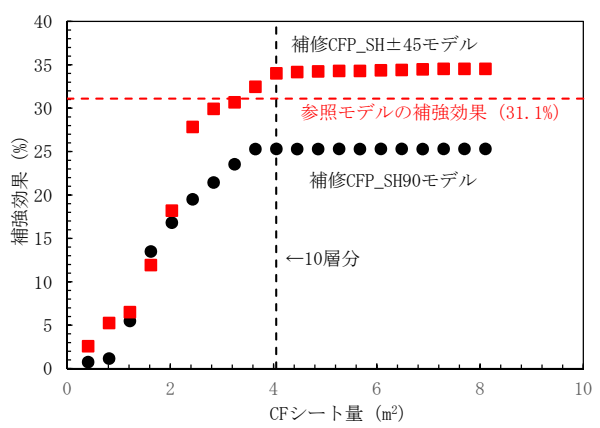
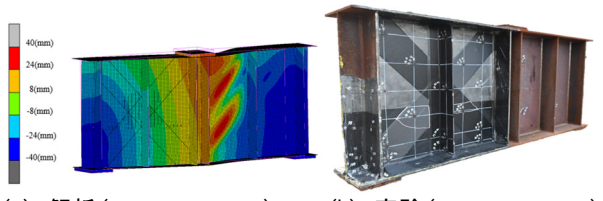
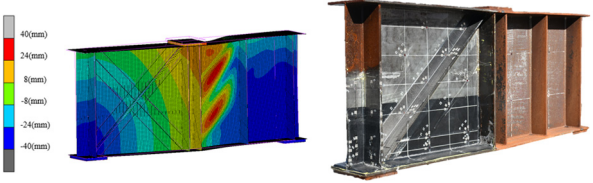


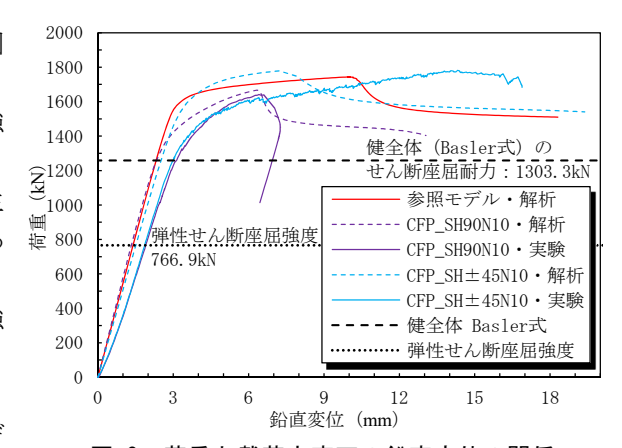
図-5 CFシート量と補強効果の関係



(b) 実験(P_{max}=1642.6kN) (a) 解析(P_{max}=1670.5kN) 補強 CFP SH90N10 モデルの最大荷重時の変形図



(a) 解析(P_{max}=1779.6kN) (b) 実験(P_{max}=1781.9kN) 補強 CFP_SH±45N10 モデルの最大荷重時の変形図



荷重と載荷点直下の鉛直変位の関係

表-2 最大荷重と健全モデルに対する補強効果の比較 ウェブパネル 最大荷重(kN)

実験

860.5

90°

10層

 $P_{\text{max}}/P_{0e\text{max}}$

1.067

0.686

1.311

1.256

実験

1.000

0.647

解析

913.1

1743.9

1642.6 1670.5 1.235

1330.1 1419.1